

## دراسة بيوجرافية لرسوبات الماستريختيان في القسم الشمالي من السلسلة الساحلية (سوريا)

شيرين خليل كربوج<sup>1</sup>, غادة محمد<sup>2</sup>, سامر محمد كنجو<sup>3</sup>

<sup>1</sup> طالبة ماجستير في قسم الجيولوجيا/كلية العلوم/جامعة تشرين

<sup>2</sup> أستاذ في قسم الجيولوجيا/كلية العلوم/جامعة تشرين

<sup>3</sup> أستاذ مساعد في قسم الجيولوجيا/كلية العلوم/جامعة دمشق

[samer.kenjo@damascusuniversity.edu.sy](mailto:samer.kenjo@damascusuniversity.edu.sy)

### الملخص

أجريت دراسة بيوجرافية لرسوبات الماستريختيان باستخدام مجموعتي المنخربات والكوكوليتات في مقاطع صرنا وعين التينة شمال السلسلة الساحلية. تم دراسة 37 عينة منخربات و 21 عينة كوكوليتات في المقطعين، حيث تم تحديد ثلاثة نطاقات حيوية للمنخربات تميز توضيعات الماستريختيان في مقاطع صرنا: (نطاق *Globotruncana* (نطاق *Abathomphalus mayaroensis*, نطاق *Gansserinagansseri*, ونطاق *falsostuarti* تقابل نطاق الكوكوليت UC20 وتوافق المجال الزمني الممتد من أعلى الماستريختيان الأسفل حتى قمة الماستريختيان الأعلى، ونطاقين في مقطع عين التينة (نطاق *Globotruncanafalsostuarti* قمة الماستريختيان الأسفل - أسفل الماستريختيان الأعلى. أعطى الترابط البيوجغرافي وجود تحت نطاقين للكوكوليتات UC20d, UC20b في صرنا وتحت نطاق واحد UC20b في عين التينة. لُوحظ وجود ثغرة ترسيبية في مقطع عين التينة مرتبطة بغياب نطاق المنخربات *Abathomphalus mayaroensis* وتحت نطاقي الكوكوليتات UC20d, UC20c التي تميز رسوبات قمة الماستريختيان الأعلى. أشارت عملية الترابط البيوجغرافي المدمج لوجود عدم توافق في ظهور النوع *Miculamurus* بين القسمين الشرقي والغربي للمتوسط.

تاريخ الإيداع: 2024/07/03

تاريخ الموافقة: 2024/02/28



حقوق النشر: جامعة دمشق

سورية، يحتفظ المؤلفون بحقوق

النشر بموجب الترخيص

CC BY-NC-SA 04

**الكلمات المفتاحية:** الماستريختيان، بيوجرافيا، الكوكوليتات، المنخربات، نطاق حيوي.

## Biostratigraphic study of Maastrichtian sediments in the northern part of coastal chain(Syria)

Shereen Khalil Karbouj<sup>1</sup>, Ghada Mohammed<sup>2</sup>,  
Samer Mohammad Kenjo<sup>3</sup>

<sup>1</sup>Student of master of Geology/Faculty of Sciences/ Tishreen University

<sup>2</sup>Professor in department of Geology/Faculty of Sciences/ Tishreen University

<sup>3</sup>Assistant Professor in department of Geology/Faculty of Sciences/ Damascus University. [samer.kenjo@damascusuniversity.edu.sy](mailto:samer.kenjo@damascusuniversity.edu.sy)

### Abstract

A biostratigraphic study of Maastrichtian sediments was conducted using two groups of foraminifera and coccoliths in the Sarna and Ain al-Tineh sections, in the north of the coastal chain. 37 samples of Foraminifera and 21 samples of Coccoliths were studied in the two sections. Three biozones of foraminifera have been identified that characterize the Maastrichtian sediments in Sarna section: (*Globotruncana falsostuarti* zone, *Gansserinagansseri* zone, *Abathomphalus mayaroensis* zone) coinciding to the coccolithszone UC20 and corresponding to the period extending from the top of the lower Maastrichtian to the top of the upper Maastrichtian, and two zones in Ain al-Tineh section (*Globotruncana falsostuarti* zone *Gansserinagansseri* zone) corresponding the age of top of lower Maastrichtian –lower part of upper Maastrichtian. Biostratigraphic correlation gave the presence of two subzones of coccoliths, UC20d and UC20b, in Sarna, and one subzone UC20b in Ain al-Tineh. A sedimentary lacuna was observed in the Ain al-Tineh section related to the absence of the foraminifera zone (*Abathomphalus mayaroensis*) and the two subzones of Coccoliths UC20d and UC20c that characterize the sediments of the Upper Maastrichtian summit. The integrated biostratigraphic correlation process indicated the presence a diachronism in the occurrence of *Miculamurus* between the eastern and western parts of the Mediterranean.

**Keywords:** Maastrichtian, Biostratigraphy, Coccolithes, Foraminifera, Biozone.

Received :2024/07/03

Accepted:2024/02/28



Copyright: Damascus University- Syria, The authors retain the copyright under a CC BY- NC-SA

## 1. مقدمة

أعتبر طابق الماستريختيان الهدف للعديد من الدراسات السابقة محلياً وإقليمياً وعالمياً، وأدت أهمية دراسته كونه يمثل الطابق الأخير من الكريتاسي الأعلى وبالتالي الفترة الانتقالية بين حقب الميزوزوي والسينوزوي، والتي تواكب فترة اضطرابات كبيرة طبعت تاريخ الأرض (تغيرات بيولوجية، تغيرات ترسيبية مهمة). عالمياً اعتبر طابق الماستريختيان بكونه أحد أكثر الطوابق حرارة على سطح الأرض خلال 200 مليون سنة الأخيرة (Hay, 2008).

تميز الماستريختيان بمناخ متغير بشكل كبير ولوحظ وجود فترتين حارتين حدثتا خلال الماستريختيان المتأخر (Li and Keller, 1998; Sheldon et al., 2010).

انعكست هذه التغيرات المناخية على غزارات المجموعات الميكروبياليونتولوجية وخصوصاً الأنواع المعلقة منها للمنخربات والكوكوليتات ضمن مياه البحر (Thibault and Gardin, 2007, 2010).

تكتشف صخور السينونيان الأعلى (الماستريختيان) في القسم المتوسط من خريطة رقعة الحفة اعتباراً من جنوب الخريطة حتى شمالها وتأخذ أشكالاً دائريةً إلى إهليلجية محدودة محاطةً بتوضعاتٍ من السينونيان وتنتهي أقسام كبيرة منها بالانهيارات الباليلوجينية. يعود الماستريختيان المكتشف في منطقة الحفة بمعظمها إلى الماستريختيان الأسفل والأوسط (أميرة الشوكي 1978)، بينما يتكشف الماستريختيان الأعلى في بقعة واحدةٍ في الشمال الغربي لمنطقة الحفة متجاوزاً الصخور الأوفوليتي، وتبلغ سماكته الغطمي 250 م بالقرب من المزيرعة ويحتوي على المنخربات التالية:

*Globotruncana Falsostuarti*, *G.arca*, *G.stuarti stuarti*, *G.stuarti formis*, *G. caliciformis*, *G.gagnebini*, *Neoflabellina S*

### 1. الدراسات السابقة:

قام (القاضي والبيب، 2002) بدراسة ستريغرافية وبنرولوجية لتشكلات الكريتاسي في جبل الزاوية والتي أعطيت تسمية تشکیله بسامس الموافقة للوحدة الليتولوجية K6 الموافقة لطوابق السينونيان، وصنفت توضعات الماستريختيان بحيث تعود تحت الوحدة 2 K6-2 مشيرة لزيادة في عمق بيئته الترسيب مع تناقص في طاقة الوسط باتجاه توضعات الماستريختيان.

1- أشارت عمليات المسح الجيولوجي لمنطقة اللاذقية / حماه لتكشف توضعات الماستريختيان في القسم الشرقي والشمال الغربي منها، وُسممت هذه الرسوبات إلى وحدتين ليتولوجيتين: الأولى تقابل القسم السفلي منه والثانية توقف الجزء الأعلى حيث تضمنت وصف ليتولوجي وباليونتولوجي لها

(Ponikarov, V. (1966) Explanatory notes to the geological of Syria Latakia and Hama sheet, scale 1/2000000)

درست توضعات الماستريختيان في منطقة جبل زبيدة في السلسلة التتمريمة ووضعت ضمن تحت تشکیله الباردة (KP<sup>a</sup>). تتألف ليتولوجياً من توضعات مارنية تتخللها مستويات كلسيّة غصاريّة صفراء اللون غنيّة بالمحتوى المستحاثي من المنخربات (الخارطة الجيولوجي السورية مقاييس 1/50000 رقعة جبل زبيدة).

ربطت الدراسة السابقة بين السخنات المجهرية لها مع بيئه ترسيب متوسطة إلى عميقة مع طاقة وسط هادئة (الخارطة الجيولوجية السورية مقاييس 1/50000 رقعة جبل زبيدة).

بدأ العديد من الباحثين باستخدام النانوفوسيل على المستوى العالمي بهدف تأريخ دقيق لرسوبات الماستريختيان من خلال تقسيم هذا الطابق للعديد من النطاقات الحيوية والتي تختلف عن بعضها باختلاف المناطق المدروسة Thierstein, 1976., Verbeek, 1977., Sissingh, 1977., Roth, 1978., Perch-Nielsen, 1985., Crux, 1991., Bown et al., 1998

قامت (Burnett et al, 1998) باستخدام مجموعةٍ من الأنواع الدالة لتأريخ طابقِ الماستريخت ضمن حوضِ المتوسط الغربي إلى أربعِ نطاقاتٍ حيويةٍ، وتم تحديد الحد الأدنى والأعلى لكلِ نطاقٍ إما بالظهورِ الأول أو الظهورِ الأخير للأنواع الدالة وتقسيم النطاقات إلى تحت نطاقات.

قامت خطيب (2010) بإجراء دراسة مكروبياليونتولوجية لتوضيعات السينون في منطقة دمشق وريفها، وقد نتجت عن هذه الدراسة تحديد /10/ نطاقات حيوية باستخدام المخربات لطوابيق الكونيناسيان-سانتونيان-الكامبانيان والماستريختيان.

قام (Bobbi and David, 2014) بإجراء دراسة بعنوان تطور أجناس النانوفوسيل الكلسية (Biscutum) العائدة إلى الكريتاسي الأوسط والأعلى في شمال خطوط العرض الوسطى الأمريكية، حيث توصلوا إلى ربط تطور أجناس Biscutum من العوالق بالتغيرات المناخية للكريتاسي، الأعلى.

لما حاصلت دراسة ستراتغرافية "ميكروبياليونتولوجية وسحنية" لتطورات السينونينيان الأسفل في السلسلة التدميرية للبيئات الترسيبية والتطور الترسيري للحوض التدمري الجنوبي والشمالي، بالاعتماد على عدّة معايير أهمها نسبة المنخربات الطافية إلى المنخربات الفاعية، والاعتماد على بعض الأجناس القاعدية الموجودة في البحر الحالي والتي تعكس البيئة الترسيبية لها. كما تم استخدام النانوفوسيل لأول مرة، حيث تم تحديد 1 أنطاق حيوي (خطيب، 2016).

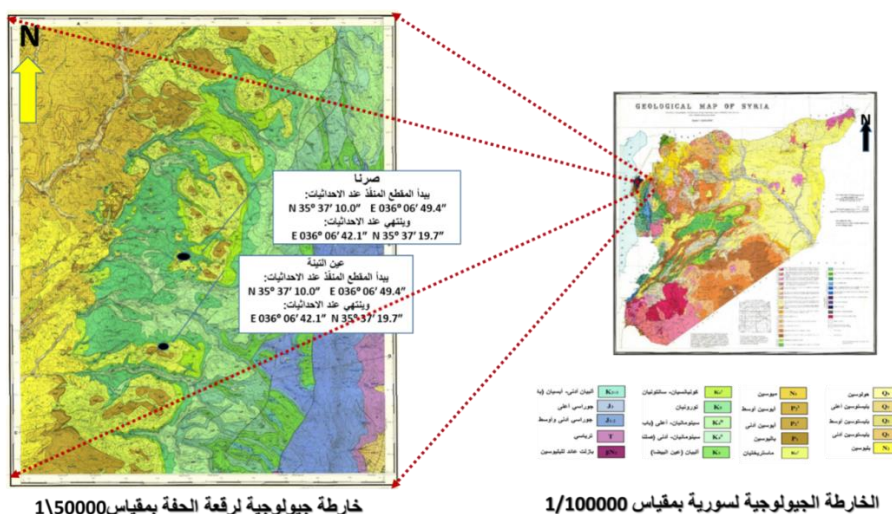
## 2.1. الهدف من الدراسة:

تهدف هذه الدراسة لتحقيق مجموعة من الأهداف:

- تحديد أعمار الرسوبات ضمن مقطع عين التينة وصرنا من خلال دراسة المحتوى المستحاثي من أنواع المنخربات والنانوفوسيل الكلسية.
  - بناء النطاقات الحيوية للكوكوليتات والمنخربات التي تميز الفترة المدروسة في مقطع الدراسة.
  - إجراء ترابط بيومتراتيغرافي مدمج بين نطاقات النانوفوسيل الكلسية ونطاقات المنخربات في مقاطع الدراسة.

## 2. الموقع الجغرافي والوصف الجيولوجي:

تقع منطقة الدراسة غرب سوريا ضمن رقعة الحفة في القسم الشمالي من السلسلة الساحلية (الشكل. 1).



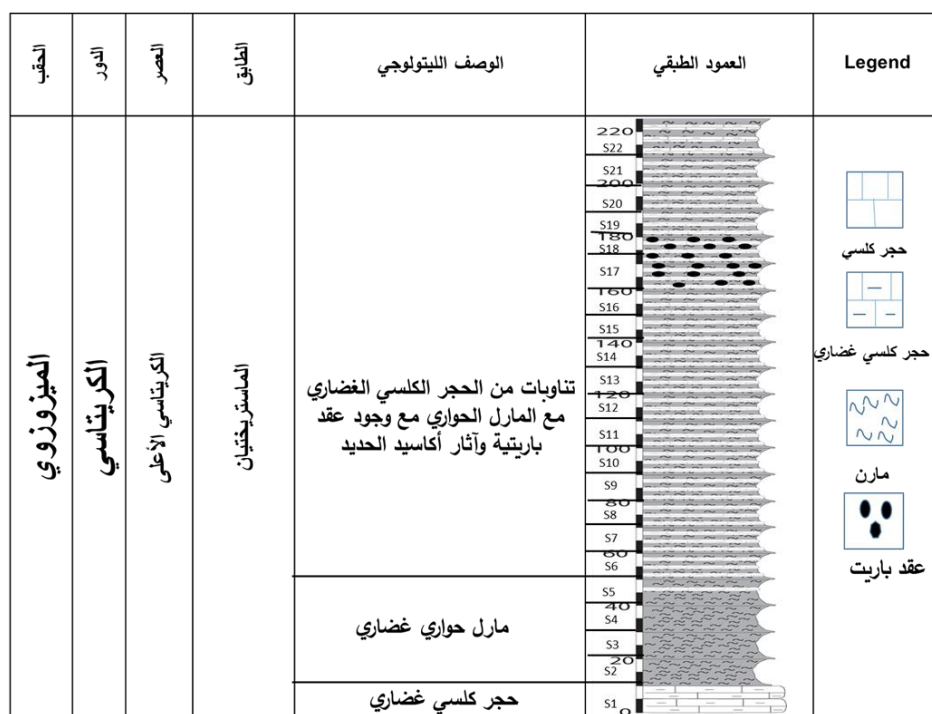
الشكل: 1. الموقع الحغرافي لمنطقة الدراسة.

تم اختيار مقطعين للدراسة البيوستراتجافية والكمية في هذا العمل وهما مقطعي صرنا وعين التنة.

يقع مقطع صرنا ضمن رقعة الحفة، وقد أشارت عمليات المسح الجيولوجي لكتشفات مهمة من الماستريختيان ضمن منطقة الدراسة ولكن تفتقر لدراسة تفصيلية لتحديد أعمار هذه الرسوبات على مستوى تحت الطابق، إضافة لعدم تحديد الحد بين الماستريختيان وأسفل الباليوجين في المنطقة المدروسة.

يتتألف مقطع صرنا ليتولوجيًّا من توضعياتٍ مكونة من حجر كلسي غضاري متواسط القساوة إلى هش تظهر عليه آثار أكسدة وبسماكهٍ تصل حتى 10 م (الشكل. 2).

يعلوه توضعياتٍ من المارن الأبيض الحاوي على نسبةٍ من الغضار وبسماكهٍ تصل حتى 35 م.

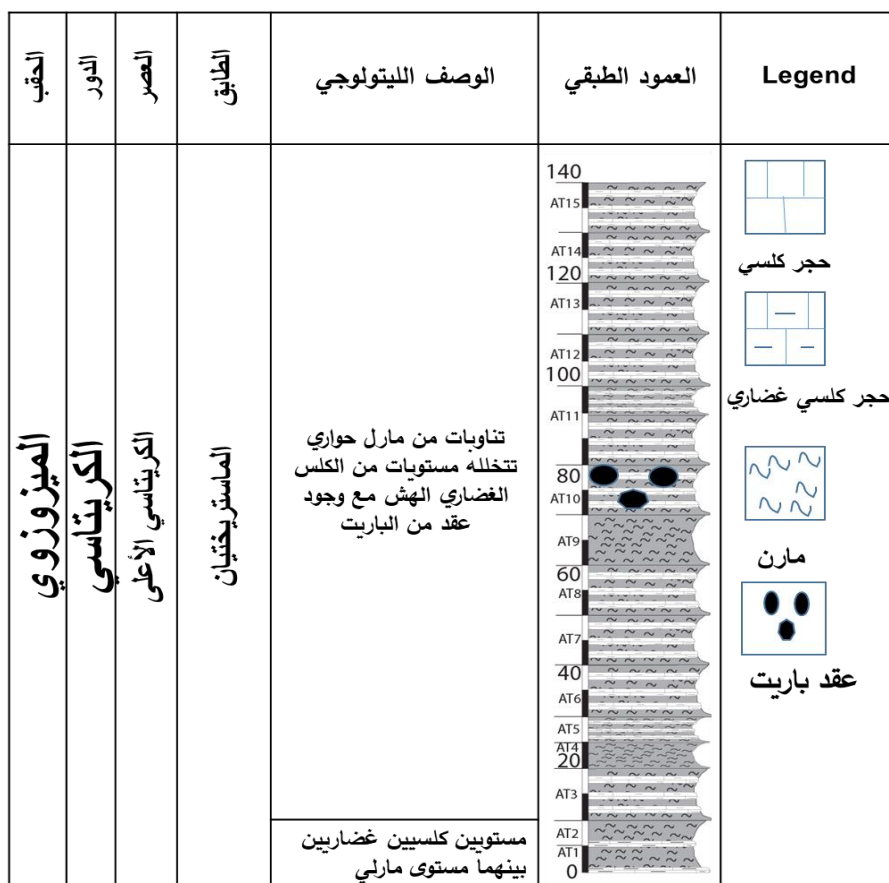


الشكل. 2. الوصف الليتوولوجي لمقطع صرنا متضمنا تقسيمه لطبقات وتحديد سماكتها.

يهيمن على المقطع سماكة من تناوبات من حجر كلسي حاوي يحوي على نسبةٍ من الغضار مع مستوياتٍ من المارن الحاوي تصل حتى 170 م، تتخللها عقدٌ من الباريت الكبيرة الحجم والتي توافق الطبقات S17، S18 (الشكل. 2). تستمر هذه التوضعيات حتى أعلى تكتشفات المقطع لتصل سماكته الكلية حتى 220 م.

يُوافق القسم الأسفل من مقطع عين التينة توضعيات من الحجر الكلسي الغضاري على شكل مستويين يفصلُ بينهما سماكة من المارن وبسماكه حوالي 4 م لكل مستوى مارني (الشكل. 3).

تتميز الطبقات الممتدة اعتبارًا من الطبقة At3 حتى At15 بكونها مكونةً من هيمنة توضعياتٍ من المارن الحاوي الأبيض يتخللهُ مستوياتٍ من الحجر الكلسي الغضاري الهش متواسطة السماكة يزداد توافتها باتجاه أعلى المقطع مع سماكة إجمالية لهذا المقطع تصل حتى 140 م (الشكل. 3).



الشكل. 3. الوصف الليتولجي لمقطع عين التينة متضمنا تقسيمه لطبقات وتحديد سمكاتها.

### 3. المواد والطرق:

يتضمن هذا العمل نوعين من الأعمال التقنية والتي تبدأ بالعمل الحقلـي وتنتهـي بالعمل المخبرـي وتحضـير العـينـات للـدراـسة. **العمل الحقلـي:** تـم تحـديد تـكـشـفات المـاستـريـختـيان في مـنـطـقـة الـدراـسـة بـمسـاعـدة الـخـرـيـطة الجـيـوـلـوـجـية وـتـميـز هـذـه الرـسـوبـات المـتكـشـفة عـلـى السـطـح مـن خـلـال سـعـنـتها الـحـوارـيـة الـبـيـضـاءـ، واـخـتـيـار مـقـطـعـي صـرـنـا وـعينـتـة الـتـيـنة ضـمـن رـقـعـة الـحـفـةـ. تم دراسة 37 عينة من خربـات، و21 عـيـنة كـوكـولـيـتـات (22 لـلـمـنـخـربـات و11 لـلـكـوكـولـيـتـات في مـقـطـع صـرـنـا و15 لـلـمـنـخـربـات و10 لـلـكـوكـولـيـتـات) في مـقـطـع عـيـنة الـتـيـنةـ.

#### تحضـير العـينـات للـدراـسـات المـخـبـرـية:

##### آلـيـة تحـضـير عـيـنـات الـمـنـخـربـات:

تم تحـضـير العـينـات للـدراـسـات المستـحـاثـية المـجـهـرـية وـفق المـراـحل التـالـية:

- مرحلة التفتيت:** تم فيها تفتيت العـينـات الرـسـوبـية إـلـى أـجـزـاء صـغـيرـة بـواسـطـة هـاـون عـادـيـ، وـمـن ثـمـ تـمـ نـقـعـها بـالـمـاء لـفـتـرـةـ من الزـمـنـ (سبـعة أيامـ).
- مرحلة الغـسـيل:** ثـغـصـلـت العـيـنةـ باـسـتـخدـامـ تـيـارـ مـائـيـ خـفـيفـ لـلـتـخلـصـ مـنـ المـوـادـ الغـضـارـيةـ.
- مرحلة التجـفـيف:** تم تـجـفـيفـ نـاتـجـ الغـسـيلـ فـي المـخـبـرـ، ثـمـ تم فـرـزـه حـسـبـ حـجـومـ حـبـيـاتـهـ بـواسـطـة مـنـاخـلـ أـقـطـارـهـ بـالـتـدـريـجـ (0.25، 0.18، 0.12، 1 مـمـ).
- مرحلة التنـقـيةـ:** تم فيها فـصـلـ هـيـاـكـلـ الـمـنـخـربـاتـ الـدـقـيقـةـ فـي نـاتـجـ الغـسـيلـ عـنـ الشـوـائـبـ الصـخـرـيةـ مـنـ خـلـالـعـزلـ الـمـنـخـربـاتـ بـأـبـرـةـ مـخـصـصـةـ لـهـذـهـ الـغـرضـ بـاسـتـخدـامـ مـكـبـرـقـنـوـعـ (Olympus) ذـاـثـ الـقـدـرةـ التـكـبـيرـيةـ (X45) حيث تـوـضـعـ فـي خـلـاـياـ مـيـكـروـبـالـيـوـنـوـلـوـجـيـةـ.

5-التصنيف: يتم تحديد الأنواع العائدة لكل جنس باستخدام مراجع عالمية (Caron, 1985).  
آلية تحضير عينات الكوكوليتات (النانوفوسيل):

نقوم بتحويل عينات النانوفوسيل الكلسية سواء كانت مارنية أو كلسية إلى بودرة ناعمة جداً باستخدام هاون، وتوضع كل عينة في كيس يدون عليه معلومات عن العينة ورقمها مع رمز المقطع المأخوذ منه.  
نأخذ أنبوب زجاجي نضع فيه كمية من البودرة ونصيف ماء مقطر مع خضها بشكل متواصل بحيث تتوزع المعلقات الرسوبيّة ضمن هذا محلول بشكل متجانس.

يترك الأنابيب لمدة عشر دقائق حتى يتم ترسب المعلقات الكبيرة أسفل الأنابيب ويبقى فقط المعلقات الناعمة جداً من مرتبة الميكرون (النانوبلاكتون) ضمن الماء المقطر.

يسحب قسم من الماء المقطر (نقطة أو نقطتين) الحاوي على معلقات ضمن الأنابيب بواسطة مصاصة، ونضعه على الساترة الزجاجية، ليتم لاحقاً تجفيفها.

يتم لصق الساترة الزجاجية على شريحة مجهرية باستخدام بلسم كندا، ثم نضع لصاقة تتضمن رقم العينة، وتصبح جاهزة للدراسة المجهرية بمجهر استقطابي بقوة تكبير X100.

#### 4. النتائج والمناقشة:

##### 4. 1. الدراسة البيوجرافية:

مقطع صرنا:

بالاعتماد على الدراسة التفصيلية لمحتوى العينات المدروسة من المنخربات البلانكتونية والقاعية، تم تحديد ثلاثة نطاقات حيوية تميز تواجدات الماستريختيان في السلسلة الساحلية في مقطع صرنا، وقد استخدمت نطاقات (Barr, 1972) كمرجع لبناء النطاقات في المنطقة المدروسة:

- نطاقات المنخربات:

##### 1- نطاق (*Globotruncanafalsostuarti*):

تم تحديد هذا النطاق اعتباراً من أسفل مقطع صرنا في الطبقة S1، حيث سجل ظهوره فيها، في حين تم تحديد حدده الأعلى أسفل الطبقة S3 بالظهور الأول للنوع *Gansserinagansseri* (الشكل. 4) يوافق هذا النطاق سمكية من الرسوبيات (20م) مكونة من حجر كلسي غضاري في القسم السفلي لهذا النطاق، يتحول لتواجدات مارليلية تشغله الأعلى. يحيى ضمنه على مجموعة واسعة من أنواع المنخربات البلانكتونية التي تميز عمر الماستريختيان الأدنى مثل:

*Globotruncanita stuartiformis, Globotruncana Globotruncanita stuarti, Globotruncanita conica aegyptiaca, Globotruncana arca, Globotruncana falsostuarti Globotruncana ventricosa, Globotruncana rosetta, Abathomphalus intermedius, Contusotruncana plicata, Contusotruncana fornicate, Contusotruncana fornicate contuse, Contusotruncana fornicate calsiformis, Rugoglobigerina rugosa, Rugoglobigerina (Trinitella) scotti, Rugoglobigerina pennyi, Gublerina cuvillieri, Guembelita cretacea Archaeoglobigerina blowi.*

*Bolivinoides draco, Neoflabellina sp., Neoflabellina numismalis, ..*

يعتبر نطاق *Globotruncanafalsostuarti* أول نطاق محدد في الماستريختيان ويتوافق القسم السفلي منه حيث استخدم الظهور الأول لنوعه الدال في تحديد الحد السفلي للماستريختيان (Barr, 1972).

تم تحديد هذا النوع اعتباراً من الطبقة الأولى S1، وبالتالي يمثل هذا التحديد استمرار لوجوده حيث يتوافق ظهوره الأول طبقات أدنى سترياتغرافيا من الطبقة S1، ولكنها لا تكشف على سطح الأرض، وبالتالي لا يمكن تحديد حدده الأدنى في مقطع صرنا، بل يعتبر القسم الأدنى من هذا المقطع استمرار لهذا النطاق (الشكل. 4).

## 2- نطاق (Gansserinagansserizone)

يواافق هذا النطاق الطبقات الممتدة بين الطبقتين S7, S3 حيث تم تحديد حد الأدنى بالظهور الأول للنوع الدال لهذا النطاق اعتباراً من الطبقة S3 على ارتفاع 20م، في حين يواافق حد الأعلى أعلى الطبقة S7 والذي حدد بالظهور الأول للنوع *Abathomphalus mayaroensis*. على ارتفاع 70م. يواافق هذا النطاق سماكة من الرسوبات مكونة من تتابع توضيعات مارلية مع مستويات من الكلس الغضاري والتي تصل حتى 50م. تم تحديد العديد من الأنواع البلانكتونية مثل:

*Globotruncana falsostuarti* ،*Globotruncana rosetta* ،*Globotruncanita stuarti* ،*Globotruncana aegyptiaca* ،*Globotruncana ventricosa* ،*Globotruncanita conica* ،*Contusotruncana fornicata calsiformis* ،*Rugoglobigerina(Trinitella) scotti* ،*Gansserina gansseri*.

استخدم هذا النطاق من قبل (Barr, 1972)، لتاريخ الرسوبات التي توافق القسم السفلي من الماستريختيان الأعلى.

## 3- نطاق (Abathomphalus mayaroensis zone)

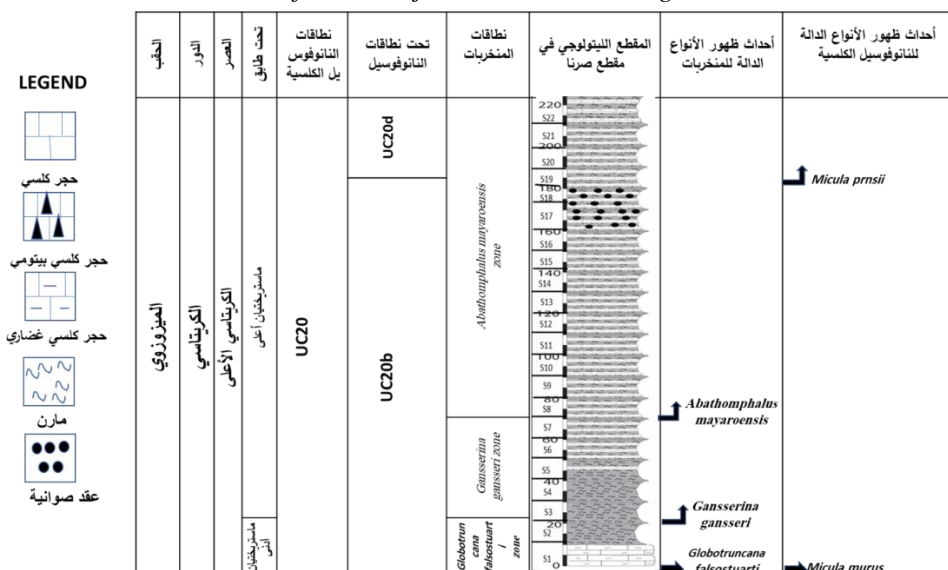
يحدد الحد الأدنى لهذا النطاق بالظهور الأول للنوع *Abathomphalus mayaroensis*، اعتباراً من الطبقة (S8) ويمتد حتى أعلى المقطع، حيث لم يحدد الحدث البيولوجي المستخدم في تحديد حد الأعلى وهو الظهور الأول للنوع *P. haknieninoides* حسب (Caron, 1985). استخدم هذا النطاق لتاريخ الرسوبات التي يعود عمرها إلى قمة الماستريختيان الأعلى (Barr, 1972). يتألف هذا النطاق من تتابعات من المارن مع حجر كلسي مارلي هش يحوي على نسبة مهمة من الحوار ويمتد على سماكة 150م من الرسوبات المكتشفة في المقطع (الشكل. 4).

تم تحديد الأنواع البلانكتونية التالية والتي تميز الماستريختيان الأعلى وهي:

*Globotruncanita stuarti*, *Globotruncanita conica*, *Globotruncanita stuartiformis*, *Globotruncana arca*, *Globotruncana falsostuarti*, *Globotruncana mariei*, *Globotruncana rosetta*, *Rosita contuse*, *Abathomphalus intermedius*, *Abathomphalus mayaroensis*, *Contusotruncana plicata*, *Contusotruncana fornicata*, *Contusotruncana fornicata contuse*, *Contusotruncana fornicata*, *globulcamerata*, *Gansserina gansseri*, *Rugoglobigerina hexacamerata*, *Rugoglobigerina rugosa*,

ومن الأنواع القاعدية: *Archaeoglobigerina blowi*.

*Bolivina incrassatta*, *Bolivinoides draco*, *Gaudryina pyramidata* (REUSS), *Pseudotextularia elegans*, *Neoflabellina jarvise*, *Lenticullina gerassimouii*, *Heterohelix glabrans*.



الشكل. 4 النطاقات الحيوية للمنخربات والنانوفوسيل الكلسية لتوضيعات الماستريختيان في مقطع صرنا.

### - الكوكوليت:

قسمت رسوبات الماستريختيان إلى أربعة نطاقات باستخدام أحاديث النانوفوسيل الكلسية الدالة بيوجرافيا في الحوض المتوسطي عالميا (Burnett et al in Bown et al., 1998).

تم في هذا البحث دراسة 11 عينة في مقطع صرنا، بالاعتماد على مستحاثات النانوفوسيل الكلسية، والتي أشارت لوجود النوع اعتباراً من الطبقة الأولى في هذا المقطع (S1)، حيث استخدم هذا النوع لتحديد الحد الأدنى تحت نطاق *Micula murus* b المتفق للماستريختيان الأعلى حسب Bown et al., 1998.

وقد تم تحديد العديد من الأنواع التي تميز رسوبات الماستريختيان وهي:

*Micula murus*, *Micula swastika*, *Micula staurophora*, *Micula prinsii*, *Watznaueria quadriradiata*, *Watznaueria barnesae*, *Watznaueria fossacincta*, *Watznaueria bipora*, *Retecapsa crenulate*, *Retecapsa schizobrachiata*, *Retecapsa angustiforata*, *Cylindralithus serratus*, *uniplanarius sissinghii*, *Uniplanarius gothicus*, *Microrhabdulus undosus*, *Microrhabdulus*, *Broinsonia signata*, *Petrarhabdus copulates*, *Amphizygus brooksii*, *Arkhangelskiella cymbiformis*, *Quadrum bengalensis*, *Neocrepidolithus cruciatus*, *Chiastozygus trabalis*, *Staurolithites mielnicensis*, *Loxolithus armilla*, *Uniplanarius trifidus*, *Tegumentum trabalis*, *Placozygus cf.p.fibuliformis*.

يستمر تحت النطاق UC20b حتى الطبقة S19 حيث تم تسجيل الظهور الأول للنوع *Micula prnsii*, والذي استخدم لتحديد الحد الأدنى تحت النطاق UC20d (Bown et al., 1998).

يغيب تحت النطاق UC20c الواقع بين تحت النطاقين السابقين، حيث لم يتم تحديد ظهور النوع الدال المميز لهذا التحت نطاق (*C. kampfneri*) المستخدم لتحديد حده الأدنى (Bown et al., 1998).

حدّد ظهور النوع *Lithraphidites quadratus* اعتباراً من الطبقة S1، ويستمر بشكل متقطع حتى الطبقة S22 في قمة المقطع مع وجود نادر له في هذا المقطع (الشكل. 4).

استخدم هذا النوع لتحديد نطاق الكوكوليت UC20 المتفق للقسم الأعلى من الماستريختيان (Burnett in Bown et al., 1998).

استخدم تحت النطاق UC20b لتاريخ القسم الأدنى من النطاق الحيوي UC20 المتفق للماستريختيان الأعلى، وبالتالي توافق رسوبات مقطع صرنا قسم من تحت النطاق UC20b والتي تعود زمنياً للقسم السفلي من الماستريختيان الأعلى.

### مقطع عين التينة:

حدّدت الدراسة التفصيلية للمحتوى المستحاثي من المنخربات البلانكتونية والقاعدية، وجود نطاقين حيوين يميزان تواضعات الماستريختيان في مقطع عين التينة، وبالاعتماد على نطاقات (Barr, 1972) كمرجع لبناء هذه النطاقات في منطقة الدراسة:

(1) نطاق (*Globotruncana falsostuarti*):

تم تحديد وجود النوع *Globotruncana falsostuarti* اعتباراً من الطبقة الأولى في المقطع At1 والذي يمثل استمرار لظهوره، في حين يوافق حده الأعلى أعلى الطبقة At3 على ارتفاع 20 م المحدد بالظهور الأول للنوع (*Gansserinagansseri*) (الشكل. 5).

يُوافق هذا النطاق تتابعات رسوبية مكونة من الحجر الكلسي الغضاري مع سمكّات كبيرة من المارن الحواري.

لوحظ وجود النوع *Globotruncana falsostuarti* في جميع طبقات المقطع تقريباً باستثناء الطبقة الأخيرة ويلعب هذا الوجود المستمر لهذا النوع، إضافة لسهولة تحديده على مستوى النوع دوراً مهماً في تاريخ رسوبات الماستريختيان الأدنى، استناداً للعديد من الأعمال العلمية المرجعية السابقة لحوض البحر المتوسط (Sliter, 1989, Caron, 1978, Barr, 1972).

يعتبر المجال السтратيغرافي الممتد بين الطبقتين At3/At1 جزء من النطاق الحيوي *Globotruncanafalsostuarti*, ويعد ذلك كونه لم يتم تحديد الظهور الأول لهذا النوع الدال في مقطع عين التينة، بل حدد وجوده اعتباراً من الطبقة الأولى، الأمر الذي يشير لظهوره ضمن مجال سтратيغرافي أقدم زمنياً يختفي تحت غطاء من الرسوبات *Globotruncanita*، *Globotruncana arca* تم تحديد العديد من الأنواع البلانكتونية ضمنه وهي على سبيل المثال: *stuartiformis* *Contusotruncanaformicata*، والتي تميز توضعات الماستريختيان الأدنى.

## (2) نطاق (*Gansserina gansseri zone*)

يببدأ هذا النطاق بالظهور الأول للنوع *Gansserinagansseri*، حيث تم تحديد هذا الحدث أسفلاً الطبقة At4 على ارتفاع 20م، ويوافق القسم الأسفل من الماستريختيان الأعلى حسب (Barr, 1972). يستمر هذا النطاق حتى الطبقة الأخيرة في قمة المقطع حيث تنتهي تكتنفات الماستريختيان في المنطقة (الشكل. 5).

لم يتم تحديد الظهور الأول للنوع الدال *Abathomphalus mayaroensis* المميز للنطاق الحيوي *mayaroensis zone* Sliter, 1989, Caron, (1978, Barr, 1972) والذي استخدم لتاريخ رسوبات قمة الماستريختيان في الحوض المتوسطي .

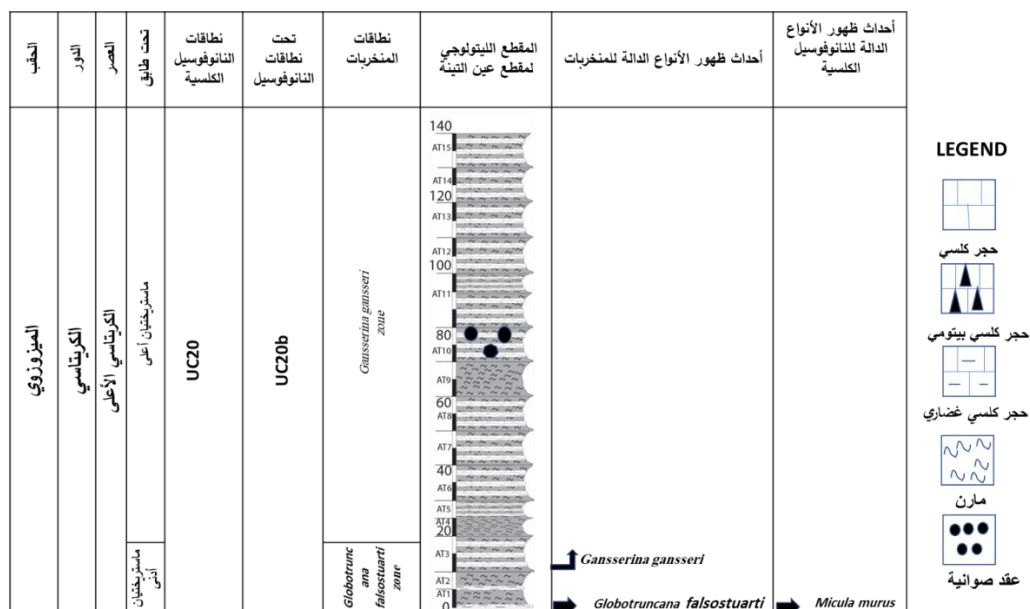
تدل النتيجة السابقة على غياب قمة الماستريختيان الأعلى نتيجة حصول عمليات حت وتعريبة أدت لإزالة الرسوبات الحاوية على النوع *Abathomphalus mayaroensis* والمرتبطة ربما بعمليات نهوض محلية في نهاية الماستريختيان ميزت المنطقة المدروسة.

يحيى هذا النطاق على مجموعة واسعة من الأنواع البلانكتونية والقاعية التي تتوارد مع بعضها بشكل متواافق وتميز هذا النطاق وذكر منها:

*Globotruncana falsostuarti*, *Globotruncana californica*, *Globotruncana ventricosa*, *Globotruncana arca*, *Globotruncana aegyptiaca*, *Globotruncanita stuarti*, *Globotruncanita stuartiformis*, *Rosita contusa*, *Gansserina gansseri*, *Rugoglobigerina rugose*, *Bolivinoides sp.*, *Pseudotextularia elegans*, *Nodosaria sp.*, *Lenticullina sp.*(REUSS), *Heterohelix glabrans* (CUSHMAN), *Gaudryina sp.* (REUSS), *Mishillneanas sp.*, *Pentalin sp.*, *Praebulimina aspera*, *Neoflabbellina sp.*, *Anomalina sp.*, *Saracenaria sp.*

استخدم الظهور الأول للنوع *R. fructicosa* من قبل (Caron, 1985) في تحديد الحد بين الماستريختيان الأسفل والأعلى، بحيث يقع مباشرةً أسفل الحد الأدنى المفترض للنطاق الحيوي *(Abathomphalus mayaroensis zone)*.

يغيب أيضاً في هذا المقطع النوع *R. fructicosa*، الأمر الذي يؤكد ضرورة استخدام معيار آخر لتحديد أعمار أكثر دقة لرسوبات المقطع من خلال استخدام نطاقات أشمل تمثيلاً للفترة المدروسة في سوريا، وبالتالي سيتم الاعتماد على تقسيمات (Barr, 1972) والتي قسمت الماستريختيان لثلاثة نطاقات تميزه في الحوض المتوسطي .



الشكل. 5. النطاقات الحيوية للمنخربات والننانوفوسيل الكلسية لتوضيعات الماستريختيان في مقطع عين التينة.

#### - الكوكوليتات:

تم في هذا المقطع دراسة 10 عينات اعتماداً على الكوكوليتات، تغطي كامل المقطع، حيث تم تحديد جميع أشكال الكوكوليتات على مستوى النوع. أشارت الدراسة التصنيفية الهندسية لأنواع الكوكوليتات لوجود 19 نوع في هذا المقطع تميز رسوبات الماستريختيان.

أعطت الدراسة البيوجرافية باستخدام أنواع الكوكوليتات ظهور النوع *Micula murus* اعتباراً من أسفل المقطع At1 (الشكل. 5). يحدد هذا الظهور تحت النطاق UC20b والذي استخدم لتأريخ الرسوبات العائدة للقسم الأسفل من أعلى الماستريختيان في الحوض المتوسطي حسب الدراسة المرجعية (Burnett in Bown et al., 1998).

يستمر النوع *Miculamurus* بالظهور حتى أعلى المقطع، بالمقابل لم يتم تسجيل ظهور النوعين *Ceratolithoideskampteneri*, *Miculaprinssii*، ونتيجة لذلك لم يتم تحديد تحت النطاقين d, UC20c, UC20b المحددين بالظهور الأول للنوعين السابقين حسب التقسيمات النطاقية الأساسية المعتمدة في هذا البحث (Burnett in Bown et al., 1998). حدد ظهور النوع *Lithraphiditesquadratus* اعتباراً من الطبقة At1، ويستمر بشكل متقطع حتى الطبقة At15 في قمة المقطع مع وجود نادر له في هذا المقطع.

استخدم هذا النوع لتحديد نطاق الكوكوليت UC20 الموافق للقسم الأعلى من الماستريختيان (Burnett in Bown et al., 1998).

حدد وجود العديد من الأنواع ضمن النطاق السابق وهي:

*Micula murus*, *Watznaueria quadriradiata*, *Watznaueria barnesae*, *Retecapsa crenulate*, *Retecapsa angustiforata*, *Misceomarginatus pleniporus*, *Chaistozygus antiquus*, *Microrhabdulus helicoideus*, *Staurolithes cf.s.mutterlosei*, *Nephrolithus frequens*, *Biscutum magnum*, *Cylindralithus serratus*, *Uniplanarius gothicus*, *Microrhabdulus undosus*, *Retecapsa crenuata*, *Petrarhabdus copulates*, *Amphizygus brooksi*, *Arkhangelskiella confuse*, *Lithraphiditesquadratus*

تواافق النتيجة السابقة، وبمقارنتها مع الدراسات العالمية لأنواع الكوكوليتات السابقة تكون مقطع عين التينة يوافق توضيعات الماستريختيان الأعلى، في حين تتحقق توضيعات الماستريختيان الأسفل تحت التوضيعات الرسوبية، حيث تتحفي الطبقات التي تقع ستراتيغرافيا تحت الطبقة الأولى المرفوعة في الحقل.

## 4.2. الترابط البيوجغرافي بين مقطع عين صرنا وعين التينة:

## 4.2.1. الترابط بين نطاقات المنخربات:

حددت عملية المقارنة البيوجغرافية وجود توافق زمني للحد الفاصل بين نطاقي المنخربات البلانكتونية *Gansserina gansseri* و *Globotruncanita falsostuarti* في مقطع عين صرنا وعين التينة المحدد على ارتفاع 20م في مقطع عين التينة (الشكل. 6).

يواافق النطاق *Gansserina gansseri* في مقطع عين التينة قسم من نفس النطاق في مقطع صرنا، حيث تم تحديد الحد الأعلى لنطاق *Gansserina gansseri* على ارتفاع 70م في صرنا في حين يستمر هذا النطاق حتى قمة مقطع عين التينة حيث يغيب حده الأعلى في المقطع الأخير نتيجة حصول عملية إزالة لرسوبات القسم الأعلى من الماستريختيان الأعلى، وبالتالي توافق الطبقة الأخيرة في مقطع عين التينة (أعلى الطبقة At15) المجال المستويغرافي الواقع أسفل الحد الأعلى للنطاق *Gansserina gansseri* في مقطع عين صرنا (الشكل. 6).

تبلغ سماكة نطاق *Gansserina gansseri* 50م في صرنا في حين تزداد هذه السماكة باتجاه مقطع عين التينة لتبلغ 120م اعتباراً من الطبقة At4 حتى نهاية المقطع، والذي يمثل جزء من هذا النطاق. تشير هذه النتيجة لوجود فرق كبير واضح في سماكة هذا النطاق المواافق للقسم السفلي للماستريختيان الأعلى مع تزايد في سماكة أسفل الماستريختيان الأعلى عند الانتقال من مقطع صرنا شمال رقعة الحفة باتجاه مقطع عين التينة في جنوبها.

يشغل القسم الأعلى من نطاق *falsostuartiGlobotruncanita* في مقطع عين صرنا وعين التينة، في حين لم يتم تحديد حدوده الأدنى في مقطع عين التينة. يواافق القسم الأعلى من هذا النطاق أعلى الماستريختيان الأسفل حسب (Barr, 1972)، وبالتالي توافق الطبقتين S2, S1, At2, At1 في مقطع صرنا، زمنياً الطبقات At3, At2, At1 في مقطع عين التينة (قمة الماستريختيان الأدنى).

يختفي النطاق *Abathomphalus mayaroensis* المواافق لقمة الماستريختيان في مقطع عين التينة، بالمقابل تم تحديد جزء من هذا النطاق في مقطع صرنا حيث لم يتم تحديد حدوده الأعلى ضمنه وبسماكة تصل إلى 150م. تقابل هذه السماكة سطح التعرية في قمة مقطع عين التينة حيث أزيلت الرسوبيات المواافية لها زمنياً والتي كانت متوضعة فوق السطح العلوي للطبقة At15 (الشكل. 6).

## 4.2.2. الترابط البيوجغرافي بين نطاقات الكوكوليتات:

أوضحت دراسة أشكال الكوكوليتات على مستوى النوع في مقطع عين صرنا وعين التينة، تحديد جزء من نطاق الكوكوليتات UC20 الذي يشغل كامل المقطعين، مع الإشارة لعدم القدرة على تحديد حدوده الأدنى والأعلى نتيجة غياب الأحداث التي تميزها.

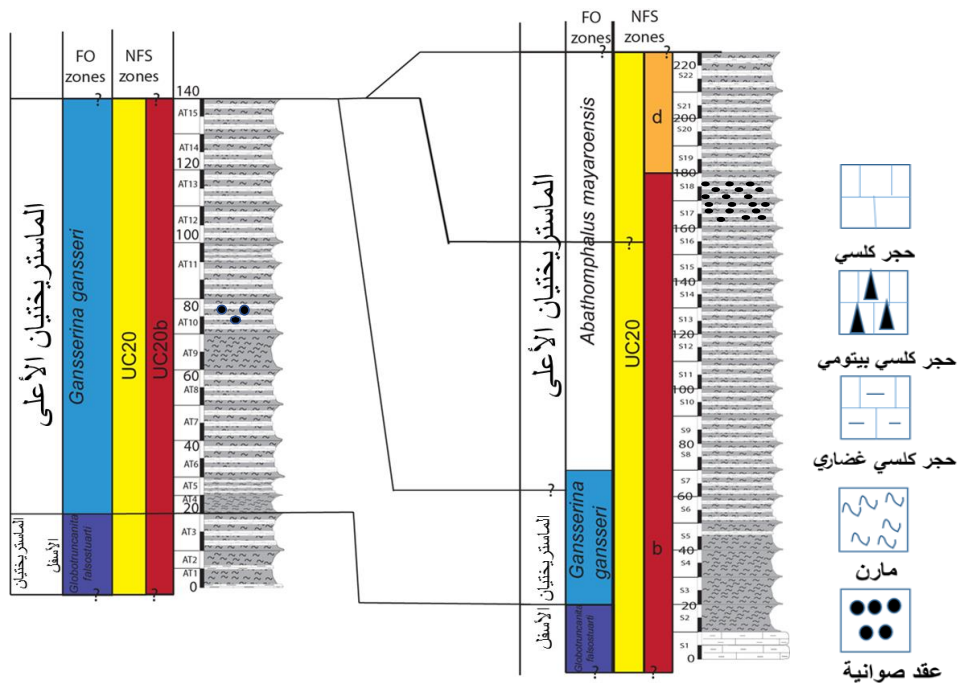
تم تحديد جزء من تحت النطاق UC20b في مقطع عين التينة، حيث يواافق قمة مقطع عين التينة المواافق للسطح العلوي غير المحدد تحت النطاق UC20b المجال المستويغرافي الواقع أسفل الحد السفلي تحت النطاق UC20d (الشكل. 6).

تم تحديد تحت النطاق UC20d في قمة مقطع صرنا، في حين يغيب تحت النطاق UC20C فيه الواقع بين تحت النطاقين UC20b و UC20d حسب نطاقات (Burnett et al., 1998 & Bown et al., 1998)، بالمقابل يغيب تحت النطاقين السابقين UC20b، UC20d، UC20C في مقطع عين التينة (الشكل. 6).

يرتبط غياب تحت النطاق UC20C بعدم تسجيل ظهور النوع *Ceratolithoideskampteneri* والمرتبط بتغيرات تربوية وبيئية أدت إلى إزالة هيكل النوع السابق ضمن رسوبات مقطع صرنا.

تظهر عملية المقارنة البيوجغرافية غياب المجال المستويغرافي المواافق زمنياً تحت النطاق UC20b وتحت النطاقين UC20C، UC20d بالكامل في مقطع عين التينة، وبالتالي يواافق كاملاً مقطع عين التينة المرفوع وبسماكة 140م

بيوجرافيا طبقات مقطع صرنا الممتدة زمنياً من أسفل المقطع الأخير حتى القسم الأعلى من تحت النطاق UC20b فيه (الشكل .6).



الشكل .6. الترابط البيوجغرافي بين نطاقات المنخربات والكوكوليتات في مقطع صرنا وعين التينة.

#### 4.2.3. الترابط البيوجغرافي المدمج

تم إجراء عملية ترابط بيوجغرافي مدمج باستخدام نطاقات الكوكوليتات والمنخربات في مقطع صرنا وعين التينة ومقارنتها مع نطاقات الكوكوليتات النموذجية للحوض الغربي للمتوسط المنجزة من قبل (Burnett in Bown et al., 1998)، ونطاقات المنخربات (Barr, 1972).

أظهرت المقارنة البيوجغرافية توافق نطاق الكوكوليت UC20 مع ثلاثة نطاقات للمنخربات وهي:

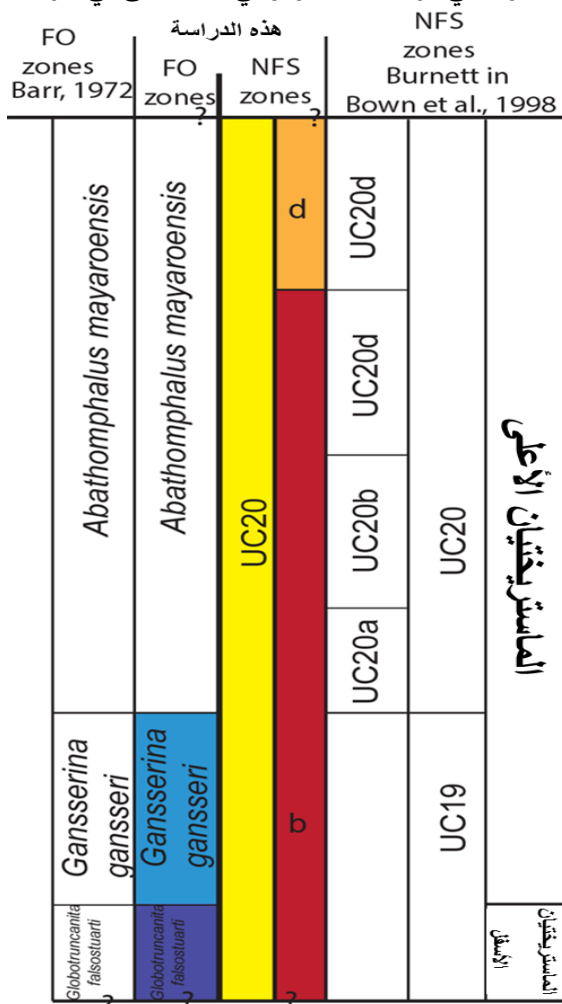
falsostuartiGlobotruncanita, gansseriGansserina, Abathomphalusmayaroensis في مقطع صرنا ونطاقات الحوض الغربي للمتوسط (Barr, 1972) (الشكل .7).

يوافق تحت نطاق الكوكوليتات في منطقة الدراسة القسم العلوي من نطاق المنخربات Abathomphalusmayaroensis في الحوض الغربي للمتوسط (Barr, 1972).

للحظ من خلال المقارنة بين نطاقات الكوكوليتات (Burnett in Bown et al., 1998)، ونطاقات المنخربات (Barr, 1972)، ونطاقات هذه الدراسة، لكون الحد الأدنى ل beneath نطاق الكوكوليت UC20b يوافق تقريباً منتصف نطاق المنخربات mayaroensisAbathomphalus في الحوض الغربي للمتوسط (Barr, 1972) والذي يوافق القسم الأعلى من الماستريختيان الأعلى، بالمقابل لوحظ امتداد تحت النطاق UC20b في منطقة الدراسة اعتباراً من نطاق المنخربات falsostuartiGlobotruncanita المواقف للماستريختيان الأسفل (الشكل .7).

يمكن تفسير هذه النتيجة بسبب عدم توافق في ظهور النوع الدال Miculamurus الذي يحدد تحت النطاق UC20b، ويعود لظهوره بشكل مبكر في القسم الشرقي من الحوض المتوسطي مقارنة مع قسمه الغربي والذي حدد ظهوره الأول ضمن منتصف الماستريختيان الأعلى (الشكل .7).

تؤكد النتائج السابقة تكون الشروط البيئية كانت أكثر ملاءمة لوجود *Miculamurus* في شرق المتوسط والمرتبطة ربما بوجود اختلافات تربوية متعلقة بشكل عام بتغيرات في درجة الدياجينيز والتي كانت أعلى في شرق المتوسط مقارنة مع غربه.



الشكل. 7. الترابط البيوجغرافي المدمج بين نطاقات الكوكوليتات والمنخربات في منطقة الدراسة والوحوض الغربي للمتوسط.

تمثل المصطلحات التالية: NFS zones: نطاقات الكوكوليتات.

FO zones: نطاقات المنخربات

## 5. الاستنتاجات والتوصيات:

تم في هذا البحث إجراء دراسة بيوجرافية لرسوبات الماستريختيان باستخدام مجموعتين من المستحاثات الميكروبياليونتولوجية هما المنخربات والكوكوليتات في مقطع عين التينة في القسم الشمالي من السلسلة الساحلية غرب سوريا.

أعطى هذا العمل العديد من النتائج المهمة وهي:

- تم تحديد ثلاثة نطاقات حيوية للمنخربات تميز توزيعات الماستريختيان في مقطع صرنا: (نطاق *Abathomphalus mayaroensis*, نطاق *Gansserina gansseri*, ونطاق *Globotruncana falsostuarti*) توافق المجال الزمني الممتد من أعلى الماستريختيان الأسفل حتى قمة الماستريختيان الأعلى، ونطاقين في مقطع عين التينة (نطاق *Gansserina gansseri*, نطاق *Globotruncana falsostuarti*) توافق المجال الزمني قمة الماستريختيان الأسفل - أسفل الماستريختيان الأعلى.

- حدد وجود نوع الكوكوليت *Micula murus* اعتباراً من الطبقة الأولى (S1) في مقطع صرنا، مما يشير لامتداد تحت نطاق b UC20 الموافق للماستريختيان الأعلى اعتباراً من أسفل المقطع.
- تم تسجيل الظهور الأول للنوع *Miculaprinssii* في الطبقة S19 والذي استخدم لتحديد الحد الأدنى تحت النطاق d UC20d.
- يغيب تحت النطاق c UC20c في مقطعي الدراسة، حيث لم يتم تحديد ظهور النوع الدال المميز لهذا تحت نطاق .(*C. kampfneri*)
- توافق رسوبات مقطعي صرنا وعين التينة جزء من نطاق الكوكوليت UC20 نتيجة ظهور النوع *Lithraphidites quadratus* المحدد لهذا النطاق اعتباراً من الأسفل حتى القمة.
- لم يتم تحديد النطاق الحيوي *Abathomphalus mayaroensis zone* في مقطع عين التينة، مما يدل على غياب قمة الماستريختيان الأعلى نتيجة حصول عمليات حتٍّ وتعريٍّ أدت لإزالة الرسوبات الحاوية على النوع *Abathomphalus mayaroensis* والمرتبطة ربما بعمليات نهوض محلية في نهاية الماستريختيان ميّزت المنطقة المدروسة.
- يوافق تحت النطاق b UC20 كامل رسوبات مقطع عين التينة، بالمقابل لم يتم تسجيل ظهور النوعين *Ceratolithoideskampfneri*, *Miculaprinssii* d UC20c في المقطع المدروس.
- لوحظ وجود عدم توافق في ظهور النوع الدال *Miculamurus* الذي يحدد تحت النطاق b UC20b، نتيجة ظهوره بشكل مبكر في القسم الشرقي من الحوض المتوسطي مقارنة مع قسمه الغربي.
- يمثل هذا العمل خطوة تتطلب خطوات لاحقة متمثلة بدراسات تربيبية وجيوكيميائية، إضافة لدراسات القطبية المغناطيسية القديمة لرسوبات الماستريختيان.

اللوحة I: تمثل بعض أنواع المنخربات البلانكتونية المميزة للماستريختيان في مقطع صرنا S درجة تكبير x45

b: وجه حلزوني c: وجه هامشي

A: وجه سري

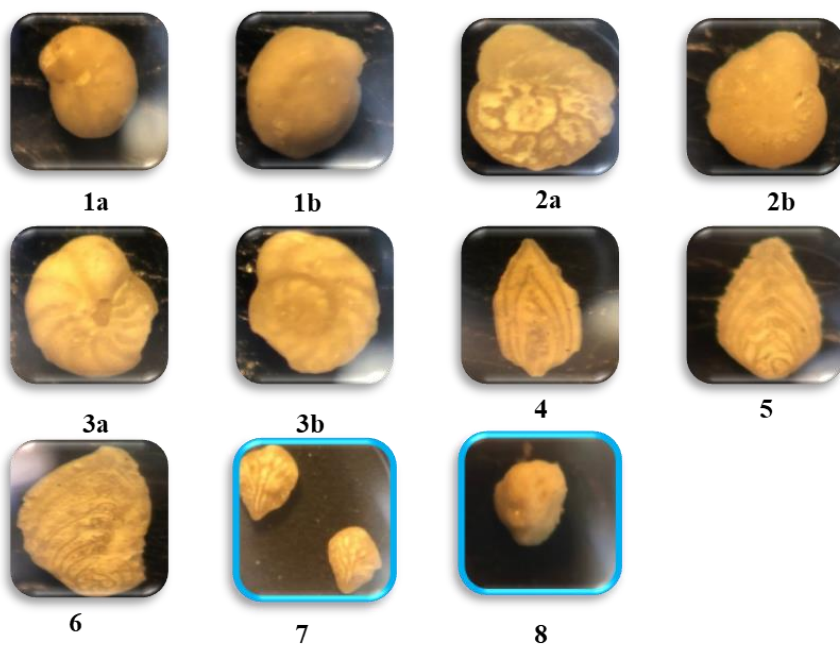
- 1- *Rugoglobigerina rugosa*(S1)
- 2- *Archaeoglobigerina blowi*(S2)
- 3- *Rugoglobigerina hexacamerata*(S11)
- 4- *Globotruncana mariei*(S11)
- 5- *Abathomphalus mayaroensis*(S11)
- 6- *Globotruncana rosettta* (S3)
- 7- *Globotruncanita stuarti*(S11)
- 8- *Globotruncana arca*(S1)
- 9- *Contusotruncana fornicate calsiformis*(S3)
- 10- *Contusotruncana fornicate*(S1)

20 من 16

اللوحة II: تمثل بعض أنواع المنخربات البلانكتونية المميزة للماستريختيان في مقطع صرنا درجة تكبير x45  
a: وجه سري b: وجه حلزوني c: وجه هامشي

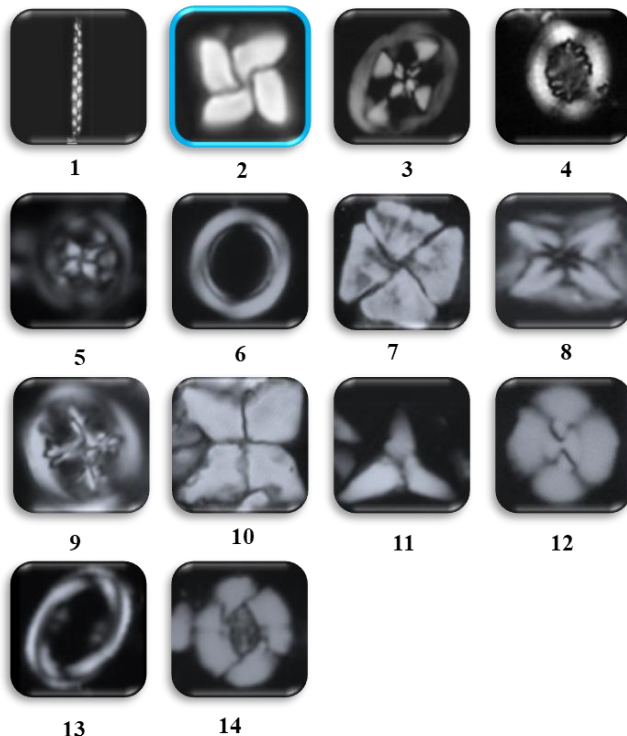
- 1- *Contusotruncana fornicate globulocamerata(S1)*
- 2- *Globotruncana falsostuarti(S2)*
- 3- *Rugoglobigerina perryi(S2)*
- 4- *Globotruncanita stuartiformis(S11)*
- 5- *Gublerina cuvillieri(S1)*
- 6- *Pseudoguembelina costulata(S1)*
- 7- *Planoglobulina brazoensis(S3)*
- 8- *Pseudoguembelina costellifera(S1)*
- 9- *Planoheterohelix globulosa(S1)*
- 10- *Pseudogumbelina sp.(S1)*
- 11- *Guembelitria cretacea(S1)*
- 12- *Gansserina gansseri (S11)*

اللوحة III: تمثل بعض أنواع المنخربات القاعية في مقطع صرنا درجة تكبير x45  
a: وجه سري b: وجه حلزوني



- 1- *Gyroidina orbicularis (S1)*
- 2- *Anomalinooides pinguispinguis (S3)*
- 3- *Broszenella complanata (S1)*
- 4- *Frondicularia mucronata (S1)*
- 5- *Neoflabellina rugosa (S3)*
- 6- *Neoflabellina sp (S2).*
- 7- *Bolivinoides draco (S2)*
- 8- *Gaudryina pyramidata (S5)*

اللوحة IV: تمثل بعض أجناس النانوفossil الكلسية (الكوكوليتات) في مقطع صرنا بتكبير x100



- |  |  |
|--|--|
| 1- <i>Microrhabdulus</i> (S3)              | 9- <i>Retecapsa schizobrachiata</i> (S3) |
| 2- <i>Micula murus</i> (S3)                | 10- <i>Uniplanarius gothicus</i> (S3)    |
| 3- <i>Staurolithites mielnicensis</i> (S3) | 11- <i>Uniplanarius trifidus</i> (S3)    |
| 4- <i>Retecapsa crenulate</i> (S3)         | 12- <i>Watznaueria barnesiae</i> (S3)    |
| 5- <i>Chiastozygus trabalis</i> (S3)       | 13- <i>Placozygus fibuliformis</i> (S3)  |
| 6- <i>Loxolithus armilla</i> (S3)          | 14- <i>Watznaueria quadriradiat</i> (S3) |
| 7- <i>Petrarhabdus copulates</i> (S3)      |  |
| 8- <i>Micula staurophora</i> (S3)          |  |

- قائمة المراجع العربية:

- 1- القاضي، م. البب، س. (2002) دراسة سтратغرافية وبيترولوجية لتشكيلات الكريتاسي في جبل الزاوية- سوريا.
- 2- خراطة، ع. مخول، ع. ح تركمانی، ف. . 2011 المذكرة الإيضاحية للخارطة الجيولوجية السورية رقعة زيدة مقاييس 50000/1منشورات المؤسسة العامة للجيولوجيا والثروة المعدنية، دمشق، سوريا.
- 3- خطيب، ن. (2010) دراسة ميكروبياليونتولوجية لتوسيعات السينونيان في منطقة دمشق وريفها. رسالة ماجستير، قسم الجيولوجيا، كلية العلوم، جامعة دمشق.
- 4- خطيب، ن. (2016) دراسة سтратغرافية "ميكروبياليونتولوجية وسحنية" لتوسيعات السينونيان الأسفل في السلسلة التدمرية. رسالة دكتوارية، قسم الجيولوجيا، كلية العلوم، جامعة دمشق، سوريا، ص.210.
- 5- يوسف، ش.البعليكي، م. خ. عجميان، ج.& سليمان، ي . B 1979. المذكرة الإيضاحية للخارطة الجيولوجية السورية رقعة الحفة مقاييس 50000/1منشورات المؤسسة العامة للجيولوجيا والثروة المعدنية، دمشق، سوريا.

- قائمة بالمراجع الأجنبية:

- 1- Barr, F. T.(1972). Cretaceous biostratigraphy and planktonic foraminifera of Libya. *Micropaleontology*. 18, 1-46.
- 2- Bobbi J. Brace and David K. Watkins. (2014) . Evolution of the calcareous nannofossil genus *Biscutum* in the middle to Upper Cretaceous North American mid-latitudes. University of Nebraska at Lincoln. 450pp.
- 3- Bown, P.R., Rutledge, D.C., Crux, J.R. , Gallagher, L.T.(1998). Lower Cretaceous.- In Bown , P.R., ed., *Calcareous nannofossil biostratigraphy*: 86-102, London (Chapman & Hall).
- 4- Burnett, JA. (1998). Upper Cretaceous. In Bown P (ed) *Calcareous nannofossil biostratigraphy*. British Micropaleontology Society Publication Series.Chapman & Hall/Kluwer Academic Publishers, London.
- 5- Caron, M. (1985). Cretaceous Planktic Foraminifera, in Bolli, H. M.,Sunders, J. B., and Prech-Nielsen, K. (eds.), *Plankton Stratigraphy*: Cambridge University Press, Cambridge.
- 6- Crux, I. A. (1991). Calcareous nannofossils recovered by Lcg I 14 in the Suhantarctic South Atlantic Ocean. Proc. ODP, Sci Results, College Station, TX (Ocean Drilling Program), 114, 155-178.
- 7- Hay, W.W. (2008). Evolving ideas about the Cretaceous climate and ocean circulation. *Cretaceous Research* 29, 725–753.
- 8- Li, L., Keller, G. (1998). Maastrichtian climate, productivity and faunal turnovers in planktic foraminifera in South Atlantic DSDP sites 525A and 21. *Marine Micropaleontology* 33, 55–86.
- 9- Perch-Nielsen K (1985) Mesozoic calcareous nannofossils . In: Bolli, Saunders, Perch-Nielsen (eds) *Plankton Stratigraphy*: Cambridge University Press, Cambridge.
- 10- Ponikarov, V. (1966). Explanatory notes to the geological of Syria (Latakia and Hama sheet), scale 1/200000. Damascus.
- 11- Roth, P.H. (1978). Cretaceous nannoplankton bio-stratigraphy and oceanography of the northwestern Atlantic Ocean. In: Initial Reports of the Deep Sea Drilling Project, 44. U.S. Government Printing Office, Washington, D.C., pp. 731-759.
- 12- Sissingh, W.(1977). Biostratigraphy of Cretaceous calcareous nannoplankton. *Geologie en Mijbouw* 56, 37-65.
- 13- Sheldon, E.,Inson, J., Bown, P. (2010). Late Maastrichtian warming in the Boreal Realm: Calcareous nannofossils evidence from Denmark. *Palaeogeography, Palaeoclimatology, Palaeoecology*, 295, (2010). 55-75.
- 14- Sliter, W. V. (1989). Biostratigraphic zonation for Cretaceous planktonic foraminifers examined in thin section. *J. Foraminiferal Res.*,19.
- 15- Thibault, N.,Gardin, S. (2007). The late Maastrichtian nannofossil record of climate change in the South Atlantic DSDP Hole 525A. *Marine Micropaleontology* 65, 163–184.

- 16- **Thibault, N.**, Gardin, S. (2010). The calcareous nannofossil response to the end-Cretaceous warm event in the Tropical Pacific. *Palaeogeography, Palaeoclimatology, Palaeoecology*. doi:10.1016/j.palaeo.2010.02.036.
- 17- **Thierstein, H.** (1976). Mesozoic calcareous nannoplankton biostratigraphy of marine sediments. *Marine Micropaleontology*, 1, 325-362.
- 18- **Verbeek, J. W.** (1977). Calcareous nannoplankton biostratigraphy of Middle and Upper Cretaceous deposits in Tunisia, Southern Spain and France. - *Utrecht Micropalaeont. Bull.*, 16, 157, Utrecht 1977.